

# Physique Numérique – Semaine 2

## Rappel des concepts introduits en semaine 1

$$\frac{dy}{dt} = f(y, t), \text{ avec condition initiale } y(0) = y_0$$

- Discrétisation: Eqs différentielles  $\rightarrow$  Eqs algébriques  $\rightarrow$  opérations arithmétiques
  - Erreurs: troncature et arrondi
  - Convergence: limite  $\Delta t \rightarrow 0$  (erreur) = 0 (\*)
    - Ordre de convergence:  $n$  tel que limite  $\Delta t \rightarrow 0$  (erreur)  $\sim O(\Delta t)^n$  (\*\*)
  - Stabilité
    - Comportement en fonction du temps: erreur  $\sim e^{\gamma t}$
  - Différences finies (\*\*)
    - Pourquoi centrer les schémas?
  - Explicite / Implicite / Semi-implicite
- (\*) *Les erreurs d'arrondi de convergent PAS! On parle d'ordre de convergence uniquement pour les erreurs de troncature.*
- (\*\*) *suppose des fonctions f et y infiniment différentiables*

# Documentation

- Lecture pour la Semaine #2: Notes de cours
  - Chapitre 1 Section 1.5
  - Chapitre 2, Section 2.4, section 2.7.1

<http://moodle.epfl.ch/mod/resource/view.php?id=8220>

# Plan Semaine 2

- Ordre de convergence: définition, exemples
- Analyse de stabilité de Von Neuman pour l'équation de la désintégration
- Oscillateur harmonique, schéma d'Euler explicite
  - Analyse de stabilité de Von Neuman
  - Solution analytique des équations discrétisées
  - Evolution temporelle de l'énergie mécanique
- Schéma Euler-Cromer (ou Euler symplectique): apprenons à marcher...

# Ordre de convergence (1.5)

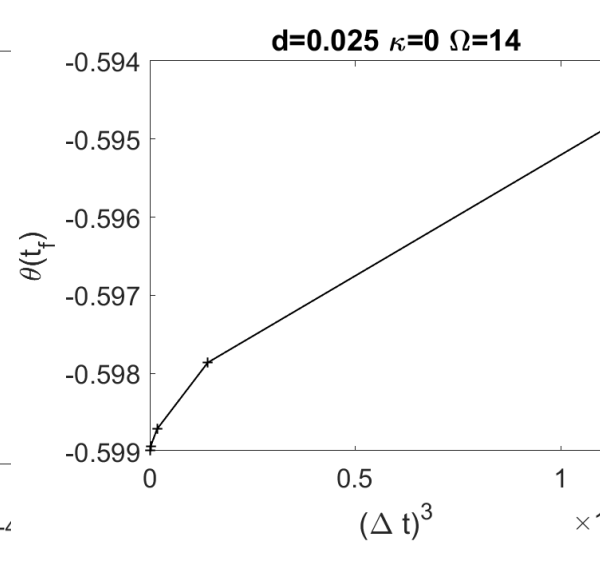
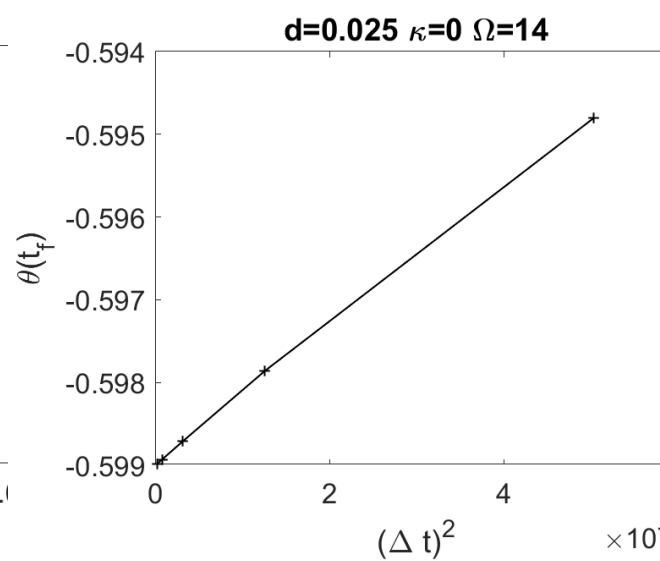
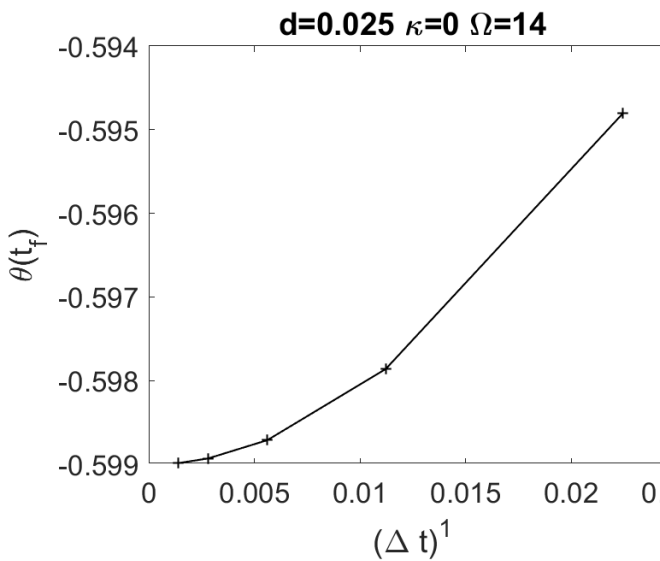
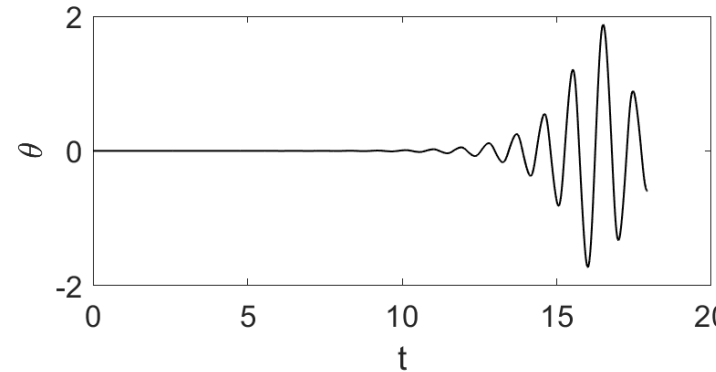
- On intègre numériquement de  $t=t_0$  à  $t=t_f$  en  $N_{\text{steps}}$  pas de temps équidistants  $\Delta t$ .
- On suppose que l'erreur  $|y_{\text{exact}}(t_f) - y_{\text{num}}(t_f)|$  peut s'écrire comme un développement en puissances entières de  $\Delta t$
- L'ordre de convergence est défini comme l'exposant du premier terme non-nul de ce développement (mis à part l'ordre 0)

$$y_{\text{num}}(t_f) = y_{\text{exact}}(t_f) + c_n(\Delta t)^n + c_{n+1}(\Delta t)^{n+1} + \dots$$

- Comment représenter graphiquement une étude de convergence? Comment, en pratique, déterminer l'ordre de convergence?

# Cas 1: on ne connaît pas la solution exacte

- Exemple: pendule  $L=20\text{cm}$ , excitation verticale,  $\Omega=2\omega_0$ ,  $d=2.5\text{cm}$  ,  $t_f=20$  périodes, schéma de Verlet (semaine prochaine)

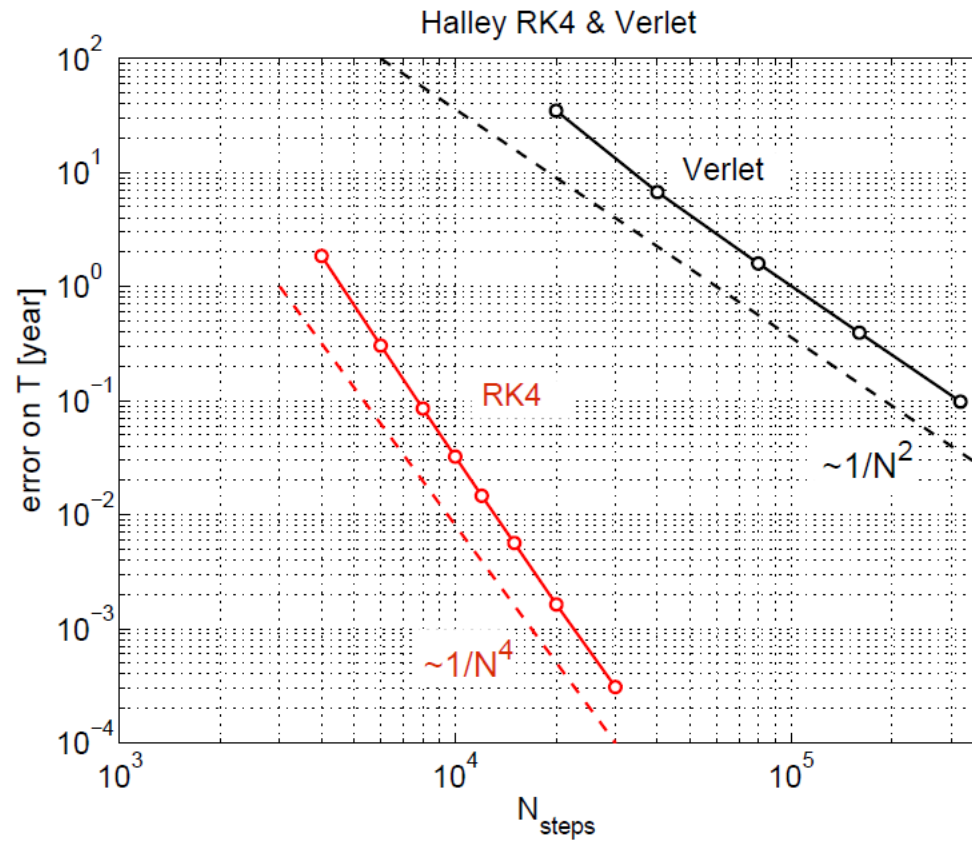


# Cas 2: on connaît la solution exacte

- On peut alors calculer la ‘vraie’ erreur

$$\text{Err} = |y_{\text{exact}}(t_f) - y_{\text{num}}(t_f)|$$

- Exemple: période de révolution de la comète de Halley

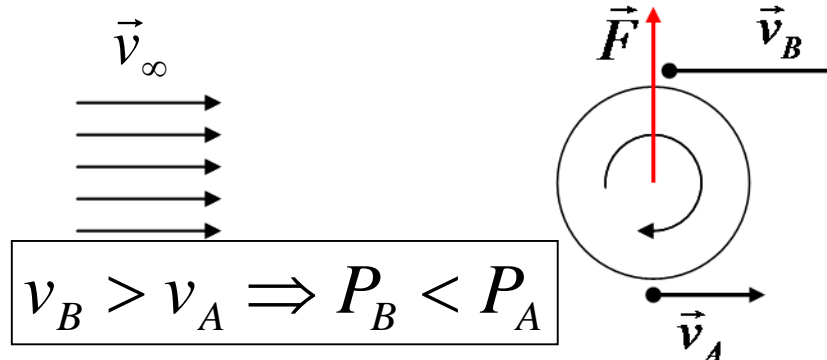
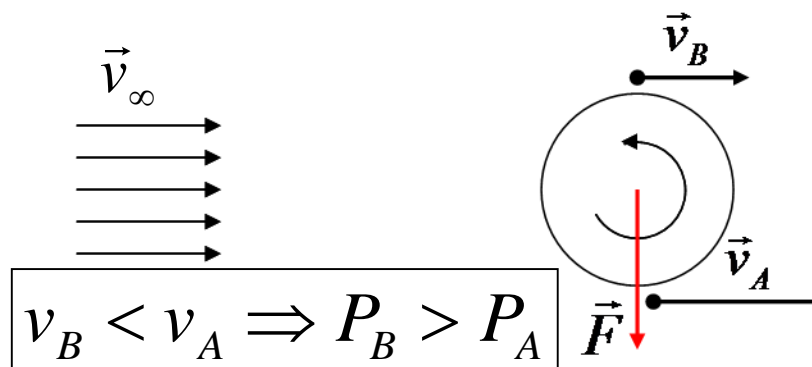


# Analyse de stabilité Von Neumann

- Cas du schéma d'Euler explicite
  - Cas de la désintégration
- Sera présenté au tableau

# Force de portance, effet Magnus

## ■ Expériences



## ■ Eq. Bernouilli

$$\frac{1}{2} \rho v^2 + P = \text{const}$$

(le long d'une ligne de courant)

## ■ Formule semi-empirique

$$\vec{F}_p = \rho \mu R^3 \vec{v}_\infty \times \vec{\omega}$$

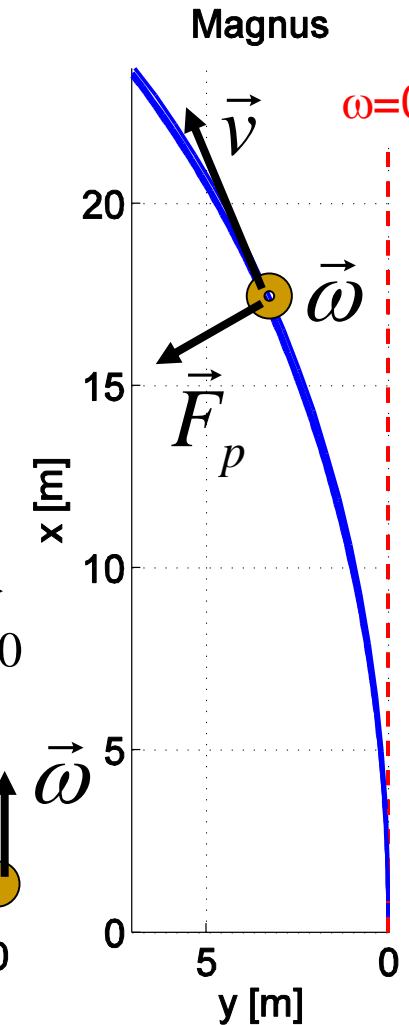
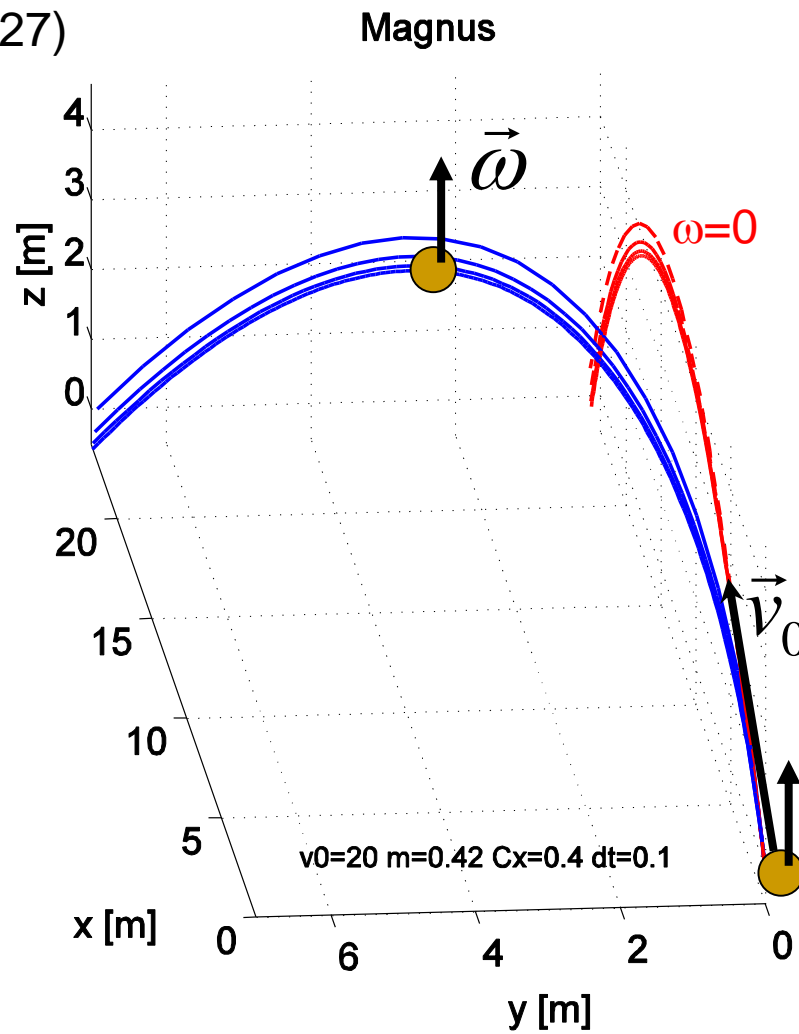
(dans le référentiel de l'obstacle)

$$\vec{F}_p = \rho \mu R^3 \vec{\omega} \times \vec{v}$$

(dans le référentiel du sol)

# Magnus tire un coup franc au football

Eq.(2.27)



$R=0.11$   
 $m=0.42$   
 $C_x=0.4$   
 $v_0=20$   
 $\alpha=30^\circ$   
 $\rho=1.3$   
 $\mu=2\pi$   
 $\omega=4\pi$   
 $\gamma=0$   
 $\Delta t=0.1, 0.0125$

# Oscillateur harmonique, particule dans champ B, effet Magnus, force de Coriolis: même structure mathématique

$$\frac{d}{dt} \begin{pmatrix} x \\ v \end{pmatrix} = \begin{pmatrix} 0 & 1 \\ -\omega_0^2 & 0 \end{pmatrix} \begin{pmatrix} x \\ v \end{pmatrix} \quad \omega_0 = \sqrt{\frac{k}{m}}$$

$$\frac{d}{dt} \begin{pmatrix} v_x \\ v_y \end{pmatrix} = \begin{pmatrix} 0 & \Omega \\ -\Omega & 0 \end{pmatrix} \begin{pmatrix} v_x \\ v_y \end{pmatrix}$$

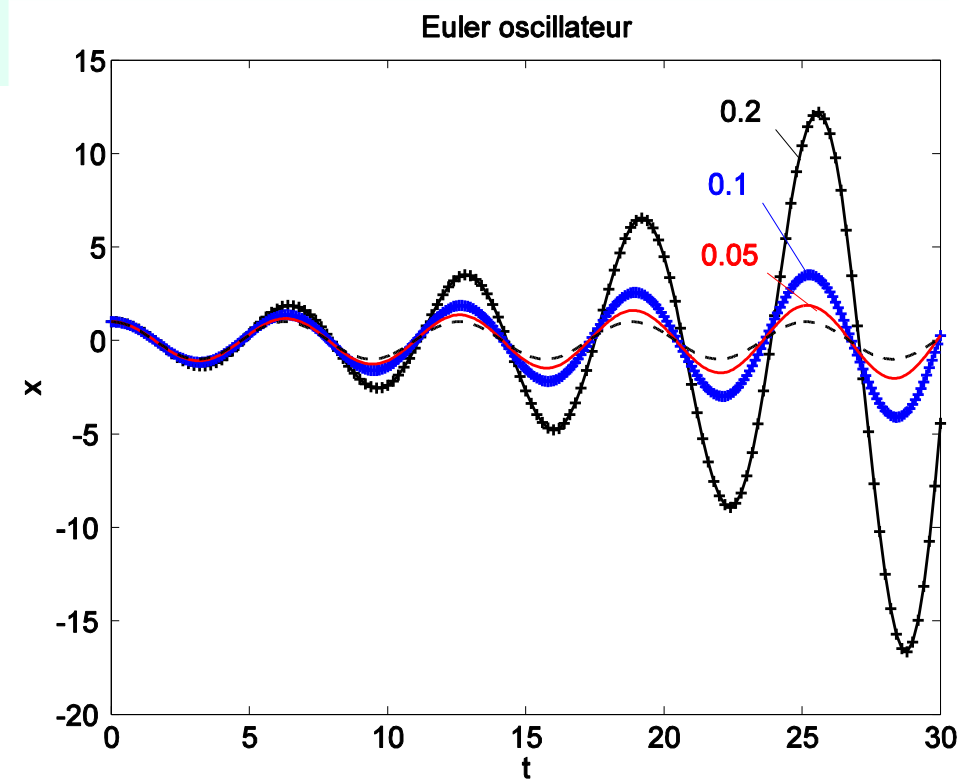
- Lorentz:  $\vec{F} = q\vec{v} \times \vec{B}$   $\Omega = \frac{qB}{m}$
- Effet Magnus:  $\vec{F} = -\mu R^3 \rho \vec{v} \times \vec{\omega}$   $\Omega = -\frac{\mu R^3 \rho \omega}{m}$
- Coriolis:  $\vec{F} = -2m \vec{\Omega} \times \vec{v}'$   $\Omega = \Omega_{R'} R$

## 2.4 Euler explicite et oscillateur harmonique instabilité

$$\frac{d}{dt} \begin{pmatrix} x \\ v \end{pmatrix} = \begin{pmatrix} v \\ -(k/m)x \end{pmatrix}$$

Solution analytique:

$$y(t) = |A| \cos\left(\sqrt{\frac{k}{m}} t + \varphi\right)$$

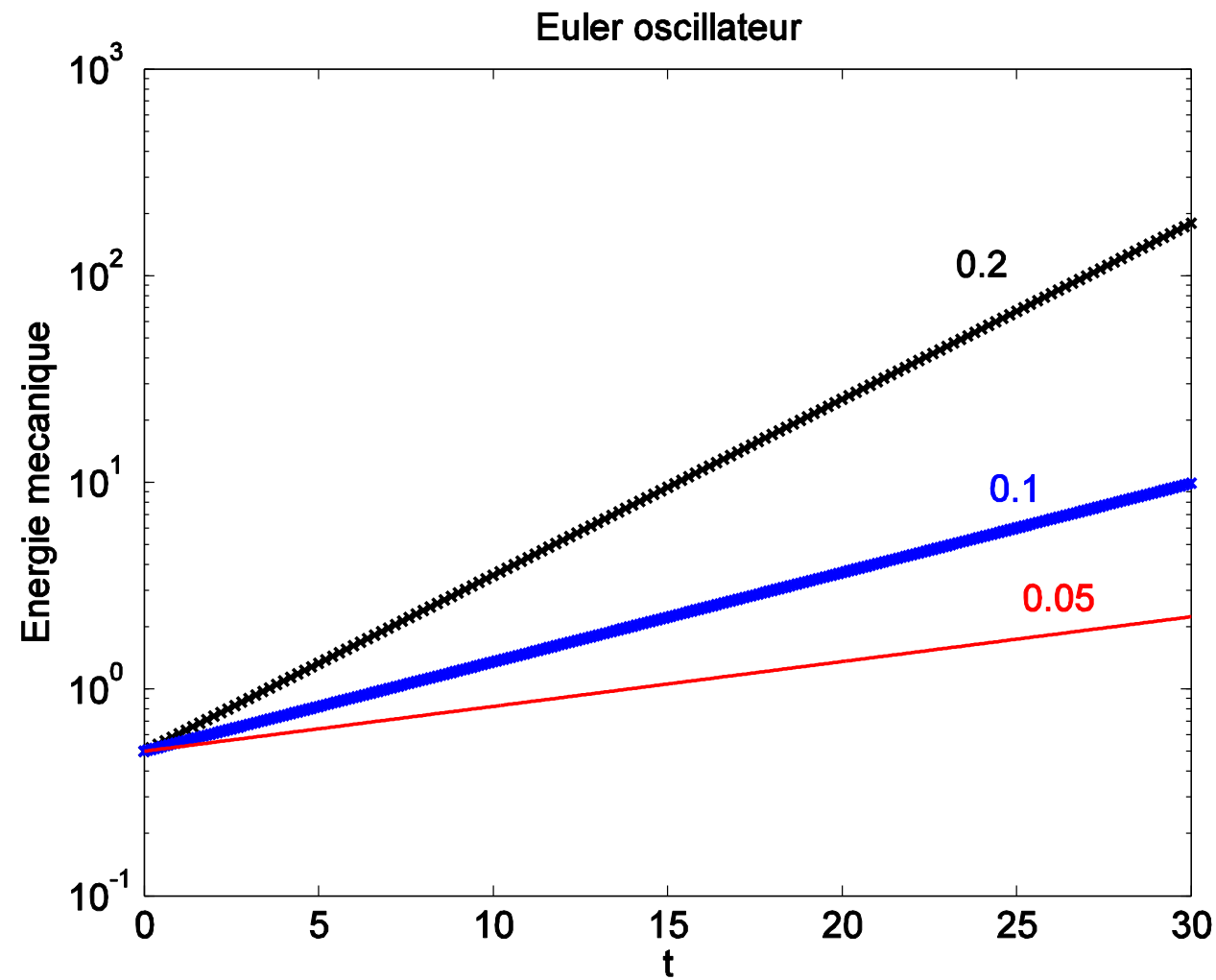


- Le schéma d'Euler explicite est ***toujours instable*** lorsqu'il est appliqué à l'oscillateur harmonique. La norme de l'erreur augmente à chaque pas de temps
- L'amplitude des oscillations croît exponentiellement, avec un taux de croissance proportionnel à  $\Delta t$

# Oscillateur harmo. Euler explicite. Conservation $E_{\text{mec}}$ ?

L'énergie mécanique, au lieu d'être conservée, croît exponentiellement dans le temps.

Le taux de croissance de  $E_{mec}$  est proportionnel à  $\Delta t$ .



# Simulation de Systèmes Oscillatoires

## ■ 2.4 Oscillations

- 2.4.1 Oscillateur harmonique. Instabilité du schéma d'Euler
- 2.4.2-2.4.4 **Analyses de stabilité numérique**

Propagation de l'erreur  $e_n$

Oscillation, (dé)croissance?

Propriétés de conservation

Matrice de gain  $G$

$$y_{num} = Ae^{i\omega t}$$

$$E_{mec} = const$$

Valeurs propres  $\lambda_i$

$$\omega = \omega_r + i\gamma$$

oscillant      exponentiel

$$E_{mec,n+1} = E_{mec,n} + ??$$

Stable si

$$|\lambda_i| \leq 1$$

$$\gamma \geq 0$$

$$\frac{\Delta E_{mec}^{(num)}}{\Delta t} \leq 0$$

Section 2.3.2 – Von Neumann

Section 2.3.3

Section 2.3.4

## 2.4.2. Analyse de stabilité de Von Neumann

- Sera présentée au tableau
- Voir aussi les Notes de Cours

## 2.4.3 Stabilité. Oscillations, (dé)croissance exponentielle. Sol. Analytique des Eqs. Discrètes.

$$y_n = \Re e\{A e^{i\omega t_n}\} = \Re e\{A e^{i\sqrt{k/m} t_n} e^{\left(\frac{k \Delta t}{m^2}\right) t_n}\}$$

$$y_n = e^{\left(\frac{k \Delta t}{m^2}\right) t_n} \underbrace{|A| \cos\left(\sqrt{\frac{k}{m}} t_n + \varphi\right)}$$

Amplitude augmentant exponentiellement dans le temps

Taux de croissance proportionnel à  $\Delta t$

Oscillation sinusoidale

En accord avec nos résultats numériques

## 2.4.4 Euler expl. osc. harmo. Conservation $E_{mec}$ 1

Analytiquement:  $E_{mec} = \frac{1}{2}mv^2 + \frac{1}{2}kx^2 = const$

Numériquement: 
$$\begin{aligned} E_{mec,n+1} &= \frac{1}{2}mv_{n+1}^2 + \frac{1}{2}kx_{n+1}^2 \\ &= \frac{1}{2}m\left(v_n - \frac{k}{m}x_n\Delta t\right)^2 + \frac{1}{2}k(x_n + v_n\Delta t)^2 \\ &= \frac{1}{2}mv_n^2 + \frac{1}{2}kx_n^2 - v_n k x_n \Delta t + k x_n v_n \Delta t + \frac{1}{2} \frac{k^2}{m} x_n^2 \Delta t^2 + \frac{1}{2} k v_n^2 \Delta t^2 \end{aligned}$$

$$E_{mec,n+1} = E_{mec,n} + \left( \frac{k}{m} E_{mec,n} \Delta t \right) \Delta t \quad (*)$$

$$E_{mec,n+1} > E_{mec,n} \quad \forall \Delta t$$

L'énergie mécanique  
augmente à chaque  
pas de temps

## 2.4.4 Euler expl. osc. harmo. Conservation $E_{mec}$ 2

$$\frac{\Delta E_{mec,n}}{\Delta t} = \left( \frac{k}{m} \Delta t \right) E_{mec,n}$$

$$E_{mec,n} = E_{mec,0} e^{\left( \frac{k}{m} \Delta t \right) t_n}$$

$$\gamma_{Emec} = \frac{k}{m} \Delta t$$

**L'énergie mécanique  
augmente  
exponentiellement au  
cours du temps**

**Le taux de croissance  
est proportionnel à  $\Delta t$**

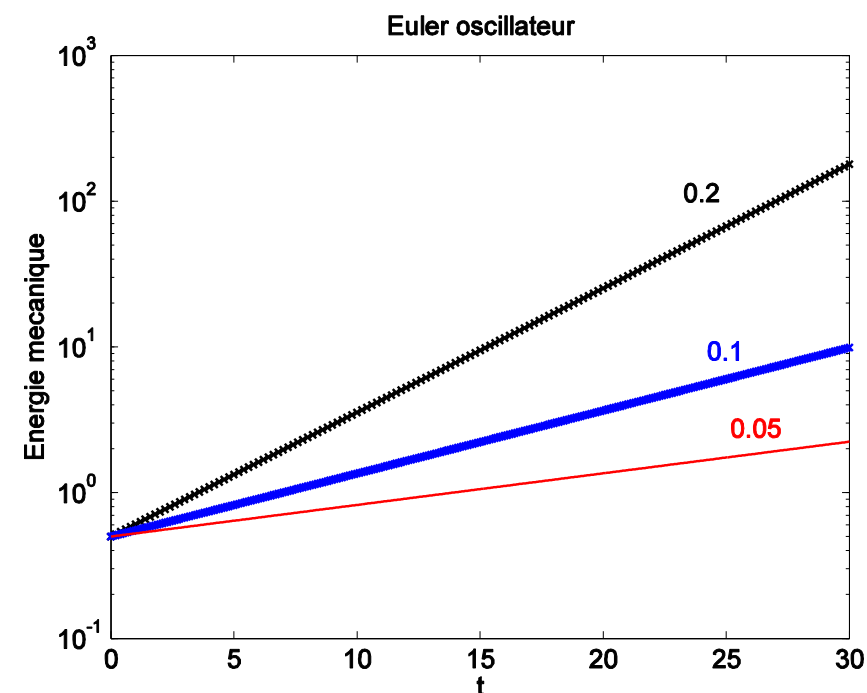


FIG. 2.8 (bas)

On trouvait un taux de croissance du mode propre

$$\gamma = \text{Im}(\omega) = -\frac{k}{m} \frac{\Delta t}{2}$$

$$\gamma_{Emec} = -2\gamma$$

???

## 2.4. Oscillateur harmonique. Conclusions

- Le schéma d'Euler explicite est toujours instable lorsqu'il est appliqué à l'oscillateur harmonique. La norme de l'erreur augmente à chaque pas de temps
- L'amplitude des oscillations croît exponentiellement, avec un taux de croissance proportionnel à  $\Delta t$
- L'énergie mécanique n'est pas conservée, mais croît exponentiellement, avec un taux de croissance proportionnel à  $\Delta t$
- Paramètre numérique crucial:  $\omega\Delta t$ 
  - $\omega\Delta t \ll 1$  veut dire plusieurs pas temporels par période
- Amélioration des schémas numériques nécessaire!
  - Euler – Cromer  $\sim \Delta t$  (\*)
  - Stormer-Verlet  $\sim (\Delta t)^2$
  - Runge-Kutta ordre 4  $\sim (\Delta t)^4$
  - Augmenter l'ordre du schéma augmente la précision
- (\*) changement apparemment minime, mais... (demo)

## 2.7.1 Euler-Cromer: déjà un grand progrès!

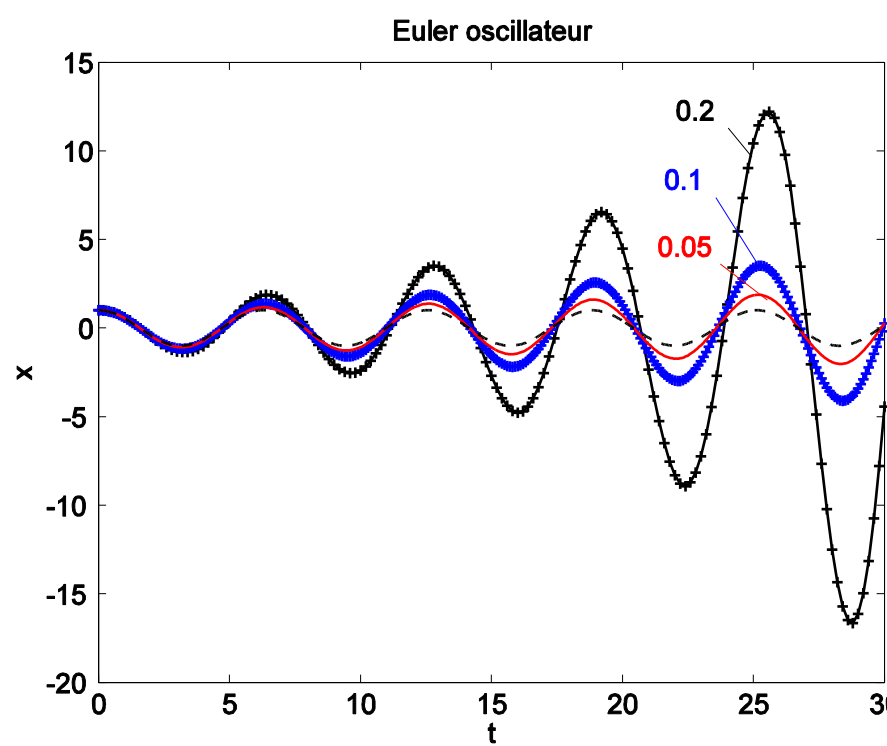


FIG. 2.8

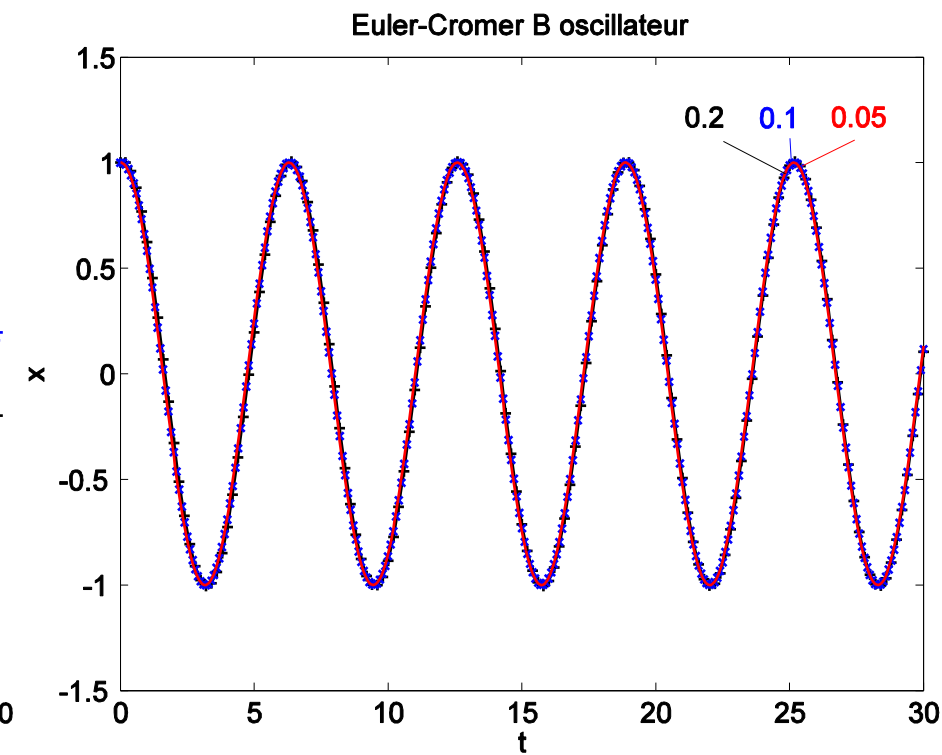


FIG. 2.9

- Les schémas d'Euler-Cromer et de Verlet seront présentés au tableau et seront illustrés par des simulations numériques.

## 2.7.1 Euler-Cromer («symplectique»)

- Pour la force de portance de Magnus, comme pour la force de Lorentz due au champ magnétique, l'accélération en  $x$  dépend de  $v_z$ , et l'accélération en  $z$  dépend de  $v_x$ .
- Le schéma d'Euler-Cromer, s'écrit, pour la particule dans un champ magnétique selon  $z$ .

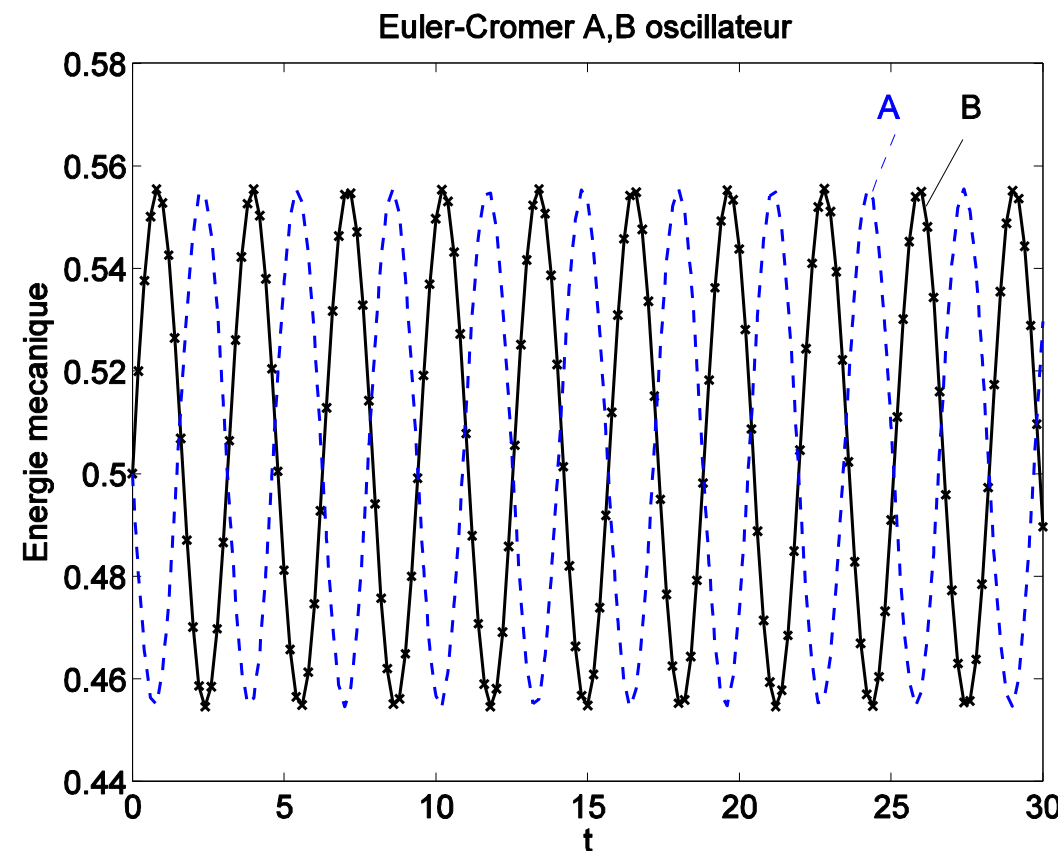
$$v_{x,n+1} = v_{x,n} + \Omega v_{y,n}$$

$$v_{y,n+1} = v_{y,n} - \Omega v_{x,n+1}$$

Euler explicite:  $v_{x,n}$

- Vous pouvez essayer ce schéma pour le problème de Magnus (Ex.1)

## 2.7.1 Euler-Cromer: pied gauche ou pied droite d'abord?



- En combinant Euler-Cromer « A » et « B » pour deux demi-pas de temps, on aboutit au schéma de Verlet. La dérivation sera présentée au tableau.